

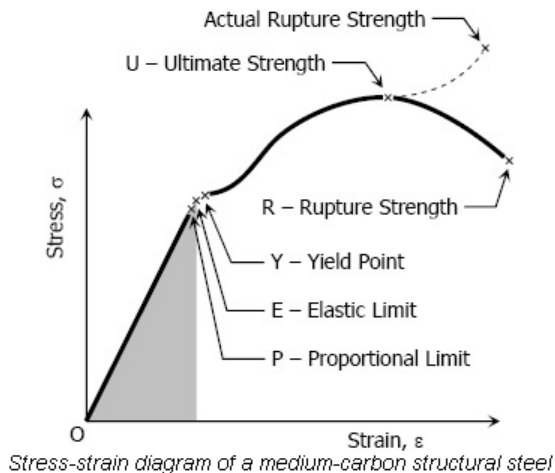
ELEMENTY TEORII PLASTYCZNOŚCI

Podstawą przyjmowania modeli materiałowych (w skali punktu, mikroskopowej – zależności $\sigma \leftrightarrow \varepsilon$) są próby laboratoryjne, najczęściej – **stacyjna próba rozciągania / ściskania osiowego**

Przykładowy wykres – stal konstrukcyjna o średniej zawartości węgla (medium-carbon)

Granica plastyczności (możliwe oznaczenia: σ_{pl} , σ_p , f_Y ,

Y – yield – plastyczne płynięcie, wyraźna granica plastyczności (dolna, górna) odpowiadająca rozpoczęciu zachowania niesprężystego – proces nieodwracalny, w cyklu obciążenie – odciążenie pozostaje odkształcenie trwałe



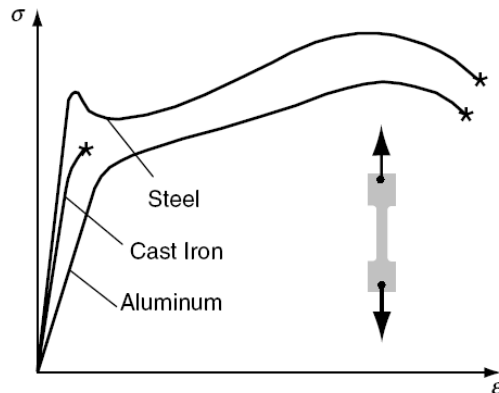
Granica plastyczności nie jest uniwersalnym parametrem materiałów konstrukcyjnych (np. w metalach i ich stopach)

Stal konstrukcyjna - wyraźna granica plastyczności

Żeliwo – zachowanie kruche: brak odkształceń plastycznych (lub nieznaczna ich wielkość) przed zniszczeniem, definiowana granica wytrzymałości σ_m , σ_r (wyjątek: żeliwo ciągliwe, żeliwo sferoidalne)

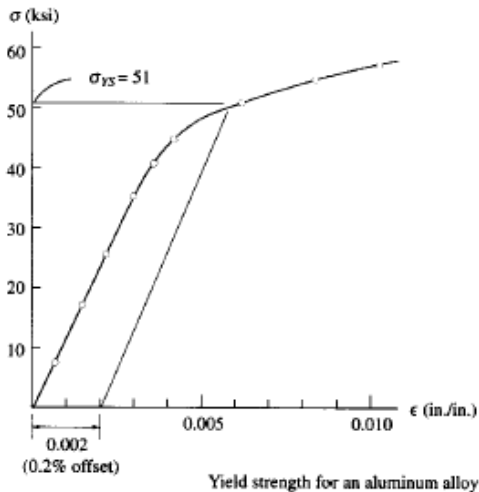
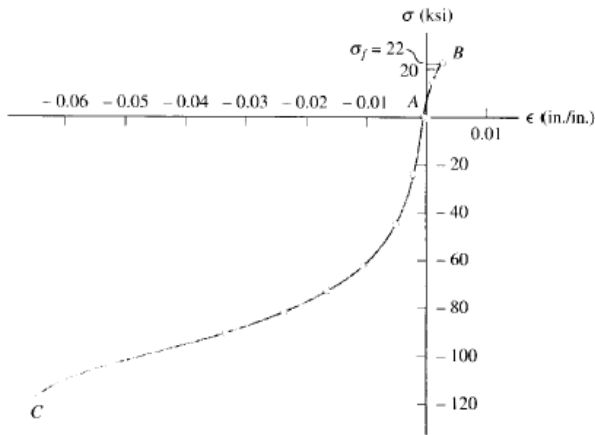
Stopy aluminium – brak

wyraźnej granicy plastyczności, wyznacza się tzw. **umowną granicę plastyczności** (offset yield strength), odpowiadającą w cyklu obciążenie-odciążenie 0.2 % odkształcenia trwałego ($\varepsilon_{pl} = 0.2\%$).



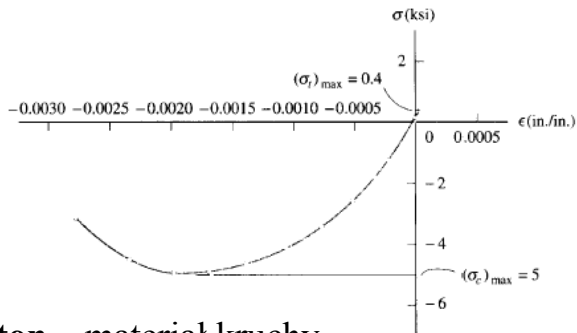
Typical uniaxial stress-strain curves for three structural metals.

Stopy aluminium – tzw. umowna granica plastyczności, odpowiadająca w cyklu obciążenie-odciążenie 0.2 % odkształcenia trwałego ($\epsilon_{pl} = 0.2\%$).



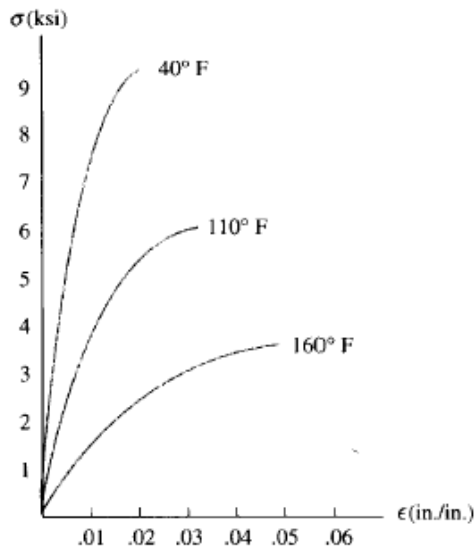
Yield strength for an aluminum alloy

Żeliwo szare - materiał kruchy – granica wytrzymałości:
na rozciąganie i ściskanie

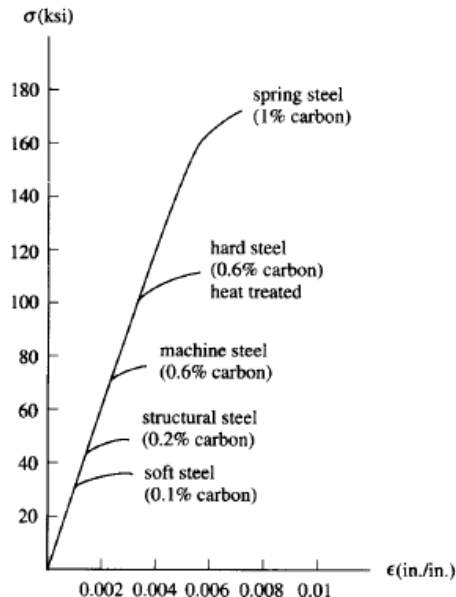


Beton – materiał kruchy

Stal konstrukcyjna – zawartość jej składników (tu: węgla) wpływa tak na wartość naprężeń granicznych (granica plastyczności σ_{pl} , wytrzymałości σ_r) jak i zachowanie materiału (plastyczne, kruche).



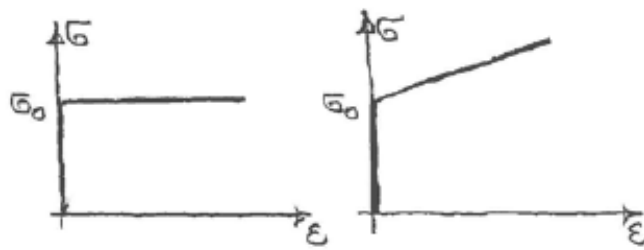
σ - ϵ diagrams for a methacrylate plastic



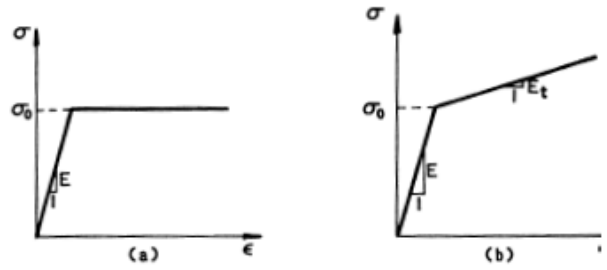
Temperatura może wykazywać wpływ na własności materiału, rys. **polimetakrylan metylu** (pleksiglas, szkło organiczne) wysokie temperatury – materiał twardy, kruchy, niskie temperatury – miękki, ciągliwy (plastyczny)

Uprozczone modele materiałowe – o fragmentach liniowych:

* idealnie sztywnoplastyczny oraz sztywnoplastyczny ze wzmocnieniem liniowym

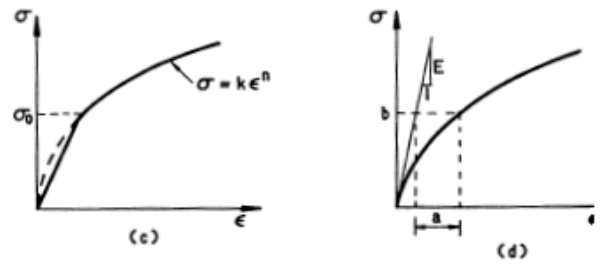


* idealnie sprężystoplastyczny oraz sprężystoplastyczny ze wzmocnieniem liniowym



modele materiałowe nieliniowe lub o fragmentach nieliniowych:

* model sprężysty ze wzmocnieniem wykładniczym
 * model Ramberga – Osgooda ($\epsilon = f(\sigma)$ - funkcja potęgowa)



Teoria plastyczności – dział mechaniki ciała stałego, w jej zakresie opis warunków powstawania i rozwoju (propagacji) zjawisk plastycznych, zakres teorii plastyczności:

* **początek procesu uplastycznienia** – pojawienie się odkształceń plastycznych (stałych, nieodwracalnych) → warunki (kryteria) uplastycznienia, hipotezy wytrzymałościowe (hipotezy wyężenia materiału)

* **rozwój uplastycznienia** – propagacja stref uplastycznienia w ciele stałym – teorie idealnej plastyczności,

* **zjawisko wzmocnienia plastycznego**, rodzaje wzmocnienia, opis analityczny i graficzny,

* opis odkształceń odwracalnych, towarzyszących zjawiskom plastycznym.

Założenie: istnienie funkcji skalarnej $F(\sigma_{ij}, k_m)$ stanu naprężenia oraz grupy parametrów, w ogólnym przypadku zależnych od stanu odkształcenia, położenia punktu, kierunku oraz historii obciążenia.

Założenie: istnienie **funkcji stanu granicznego** – funkcji skalarnej $F(\sigma_{ij}, k_m)$ stanu naprężenia $\sigma \equiv \sigma_{ij}$ oraz grupy parametrów k_m , w ogólnym przypadku zależnych od stanu odkształcenia, położenia punktu $\mathbf{x} \equiv x_i$ oraz historii obciążenia. Granicę stanów: sprężystego i plastycznego określa równość $F(\sigma_{ij}, k_m) = 0$

Kolejne możliwe uproszczenia, przyjmowane w badaniu początku uplastycznienia (przejścia ze stanu sprężystego do plastycznego):

* **materiał jednorodny** – uplastycznienie niezależne od wektora $\mathbf{x} \equiv x_i$,

* **materiał izotropowy** – warunek plastyczności możliwy do zapisania w przestrzeni naprężeń głównych $\{\sigma_1, \sigma_2, \sigma_3\}$,

* uplastycznienie niezależne od stanu odkształcenia ani od historii obciążenia – **parametry** k_m są **wartościami liczbowymi**,

* redukcja zbioru parametrów k_m do **jednej wartości** $k \equiv \sigma_0$ - granicy plastyczności, w rozszerzeniu na materiały kruche – granicy wytrzymałości, osiąganych w eksperymentach jednoosiowych.

Warunki (kryteria) plastyczności definiują wyteżenie materiału (przejście w stan plastyczny) w złożonych stanach naprężenia $\boldsymbol{\sigma} \equiv \sigma_{ij}$ (2D, 3D) na podstawie rezultatów prób jednoosiowych.

Każdy z warunków plastyczności definiuje w wielowymiarowej przestrzeni naprężeń tzw. **obszar bezpieczny**, o granicy (powierzchni granicznej) danej równaniem $F = 0$.

Warunki plastyczności zależne od jednego parametru $k \equiv \sigma_0$, materiałowych naprężeń granicznych, wspólnych przy rozciąganiu i ściskaniu – **kryteria (hipotezy) jednoparametrowe**.

Przegląd kryteriów plastyczności (kurs Wytrzymałości Materiałów):

* hipoteza **Galileusza** (XVIII w.) – **Rankine** (1850) – miarą wyteżenia są **maksymalne naprężenia normalne** (naprężenia główne)

* hipoteza **de St. Venanta** – miarą wyteżenia materiału są **ekstremalne odkształcenia podłużne** (odkształcenia główne)

Przegląd kryteriów plastyczności – c.d.

* hipoteza **Treski** (Henri Tresca, 1864), lub Treski–Guesta (TG)

miarą wyężenia materiału są **ekstremalne naprężenia styczne**.

Wartości ekstremalnych naprężeń stycznych w 3D, wyrażone

poprzez naprężenia główne: $\tau_{\max} = \max(\tau_1, \tau_2, \tau_3)$, gdzie

$$\tau_1 = \frac{|\sigma_2 - \sigma_3|}{2}, \tau_2 = \frac{|\sigma_3 - \sigma_1|}{2}, \tau_3 = \frac{|\sigma_1 - \sigma_2|}{2}, \sigma_1, \sigma_2, \sigma_3 - \text{naprężenia główne}$$

Ekstremalne naprężenia styczne w granicznym stanie jednoosiowym ($\sigma_1 = \sigma_0, \sigma_2 = \sigma_3 = 0$) są równe $\tau_0 = 0.5\sigma_0$,

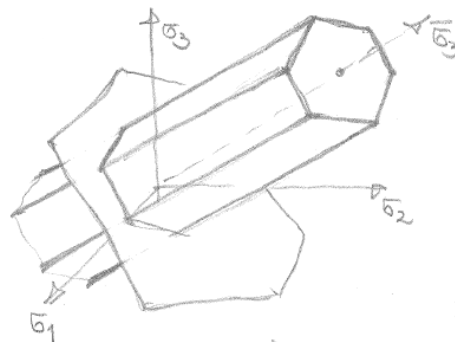
stąd w przestrzeni naprężeń głównych

$\{\sigma_1, \sigma_2, \sigma_3\}$ obszar bezpieczny wg

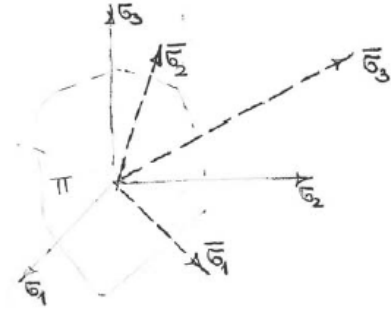
Treski jest dany nierównościami:

$$|\sigma_1 - \sigma_2| \leq \sigma_0, |\sigma_2 - \sigma_3| \leq \sigma_0, |\sigma_3 - \sigma_1| \leq \sigma_0$$

powierzchnia graniczna składa się z sześciu fragmentów płaszczyzn.



Transformacja w przestrzeni naprężeń (obrót układu współrzędnych): układ $\{\bar{\sigma}_1, \bar{\sigma}_2, \bar{\sigma}_3\}$ taki, że oś $\bar{\sigma}_3$ dana jest równaniem $\sigma_1 = \sigma_2 = \sigma_3$ - jest to tzw. **oś hydrostatyczna**, każdy jej punkt reprezentuje stan naprężenia dany tensorem kulistym – jednakowe naprężenie normalne w każdym kierunku, jest to stan odkształcenia objętościowego – jednakowe odkształcenie podłużne w każdym kierunku.



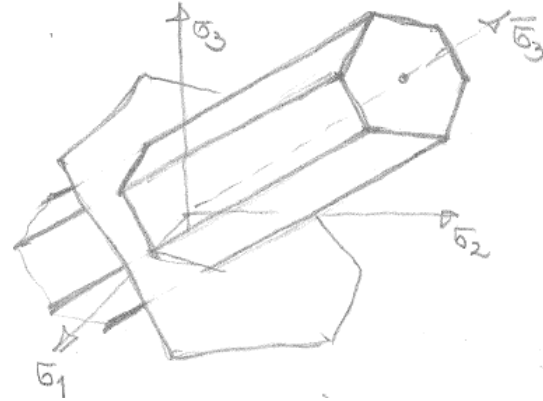
Płaszczyzna zawierająca osie $\bar{\sigma}_1$ i $\bar{\sigma}_2$ dana jest równaniem $\sigma_1 + \sigma_2 + \sigma_3 = 0$, zawiera stany naprężenia dane dewiatorem (zerowy ślad tensora naprężenia), jest to tzw. **płaszczyzna dewiatorowa**. Wersory układu $\{\bar{\sigma}_1, \bar{\sigma}_2, \bar{\sigma}_3\}$:

$$\bar{\mathbf{e}}_1 = \frac{1}{\sqrt{6}}[1 \quad 1 \quad -2], \quad \bar{\mathbf{e}}_2 = \frac{1}{\sqrt{2}}[-1 \quad 1 \quad 0], \quad \bar{\mathbf{e}}_3 = \frac{1}{\sqrt{3}}[1 \quad 1 \quad 1], \quad \text{transformacja:}$$

$$\sigma_1 = \frac{1}{\sqrt{6}}\bar{\sigma}_1 - \frac{1}{\sqrt{2}}\bar{\sigma}_2 + \frac{1}{\sqrt{3}}\bar{\sigma}_3, \quad \sigma_2 = \frac{1}{\sqrt{6}}\bar{\sigma}_1 + \frac{1}{\sqrt{2}}\bar{\sigma}_2 + \frac{1}{\sqrt{3}}\bar{\sigma}_3, \quad \sigma_3 = -\frac{2}{\sqrt{6}}\bar{\sigma}_1 + \frac{1}{\sqrt{3}}\bar{\sigma}_3$$

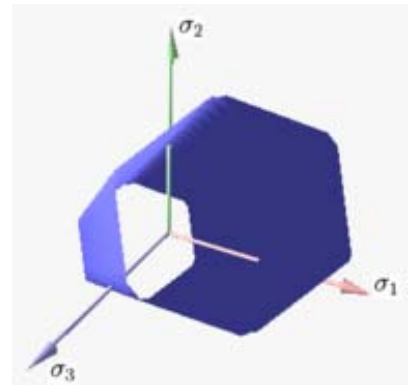
Zestaw płaszczyzn granicznych hipotezy Treski w układzie naprężeń $\{\bar{\sigma}_1, \bar{\sigma}_2, \bar{\sigma}_3\}$ dany jest równaniami:

$$\begin{cases} \sigma_1 - \sigma_2 = -\bar{\sigma}_2 \sqrt{2} = \pm \sigma_0 \\ \sigma_2 - \sigma_3 = \frac{1}{2} \bar{\sigma}_1 \sqrt{6} + \frac{1}{2} \bar{\sigma}_2 \sqrt{2} = \pm \sigma_0 \\ \sigma_3 - \sigma_1 = -\frac{1}{2} \bar{\sigma}_1 \sqrt{6} + \frac{1}{2} \bar{\sigma}_2 \sqrt{2} = \pm \sigma_0 \end{cases}$$



Jest to zbiór płaszczyzn równoległych do osi hydrostatycznej $\bar{\sigma}_3$

(współrzędna $\bar{\sigma}_3$ nie występuje w równaniach), ograniczający **nieskończony graniastosłup prawidłowy sześciokątny**.



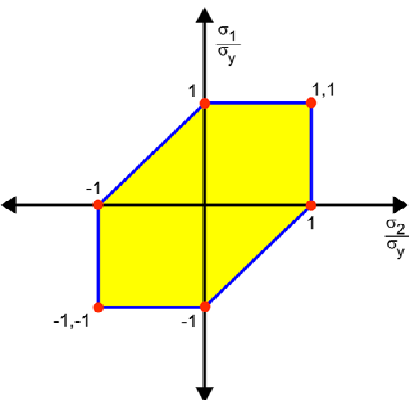
Przekrój graniastosłupa płaszczyzną dewiatorową $\bar{\sigma}_3 = 0$ – sześciokąt foremny.

PSN w płaszczyźnie $O\sigma_1\sigma_2$ ($\sigma_3 = 0$) – obszar bezpieczny Treski:

$$|\sigma_1| \leq \sigma_0, \quad |\sigma_2| \leq \sigma_0, \quad |\sigma_1 - \sigma_2| \leq \sigma_0$$

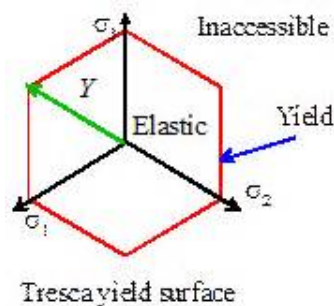
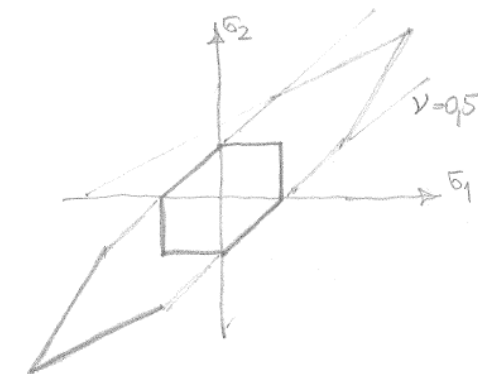
PSO w płaszczyźnie $O\sigma_1\sigma_2$ ($\sigma_3 = \nu(\sigma_1 + \sigma_2)$) – obszar bezpieczny:

$$|\sigma_1 - \sigma_2| \leq \sigma_0, \quad |\sigma_1 - \nu(\sigma_1 + \sigma_2)| \leq \sigma_0, \quad |\sigma_2 - \nu(\sigma_1 + \sigma_2)| \leq \sigma_0$$



PSO, $\nu = 0.5$ -
pasma
równoległe

$$|\sigma_1 - \sigma_2| = \sigma_0$$



* hipoteza **Hubera –Misesa - Hencky** (HMH) - Maksymilian Tytus Huber (1904), Richard von Mises (1913), Heinrich Hencky (1924)

miarą wyteżenia materiału jest **energia właściwa odkształcenia postaciowego** (nieobjętościowego) – jedynie zmiana postaci (kształtu), bez zmiany objętości

Energia właściwa – gęstość energii, energia na jednostkę objętości, odniesiona do nieskończonego małego otoczenia punktu.

Jest to **hipoteza energetyczna**. Warunki Galileusza-Rankine i Treski – **naprężeniowe**, hipoteza de st. Venanta – **odkształceniowa** (klasyfikacja – podstawowe sformułowanie warunku wyteżenia).

Całkowita energia właściwa odkształcenia sprężystego

$$W = \frac{1}{2} \boldsymbol{\sigma} \bullet \boldsymbol{\varepsilon} = \frac{1}{2} \sigma_{ij} \varepsilon_{ij} \quad (\text{działanie tensorowe – zwężenie pełne})$$

Rozkład każdego z tensorów $\boldsymbol{\sigma}$ i $\boldsymbol{\varepsilon}$ na część kulistą i dewiator:

$$\sigma_{ij} = \sigma_m \delta_{ij} + s_{ij}, \quad \varepsilon_{ij} = \varepsilon_m \delta_{ij} + e_{ij}, \quad \text{z zapisem o zerowym śladzie}$$

$$\text{każdego z dewiatorów: } tr \mathbf{s} = s_{ij} \delta_{ij} = 0, \quad tr \mathbf{e} = e_{ij} \delta_{ij} = 0 \text{ daje}$$

$$W = \frac{1}{2} \sigma_{ij} \varepsilon_{ij} = \frac{1}{2} (\sigma_m \delta_{ij} + s_{ij}) (\varepsilon_m \delta_{ij} + e_{ij}) = \frac{3}{2} \sigma_m \varepsilon_m + \frac{1}{2} s_{ij} e_{ij} = W_V + W_\gamma$$

Składniki energii całkowitej:

$$W_V = \frac{3}{2} \sigma_m \varepsilon_m - \text{energia odkształcenia objętościowego, ze związku}$$

$$\sigma_m = \frac{E}{1-2\nu} \varepsilon_m \quad \text{jest} \quad W_V = \frac{3E}{2(1-2\nu)} \varepsilon_m^2 = \frac{3(1-2\nu)}{2E} \sigma_m^2$$

$$W_\gamma = \frac{1}{2} s_{ij} e_{ij} - \text{energia odkształcenia postaciowego, ze związku}$$

$$s_{ij} = 2G e_{ij} \quad \text{wynika} \quad W_\gamma = \frac{1}{2} s_{ij} e_{ij} = G e_{ij} e_{ij} = \frac{1}{4G} s_{ij} s_{ij}$$

Drugi niezmiennik symetrycznego tensora II walencji $\mathbf{A} \equiv A_{ij}$ wynosi

$$II_A = \frac{1}{2} \left[(\text{tr} \mathbf{A})^2 - \text{tr} \mathbf{A}^2 \right] = \frac{1}{2} \left[A_{ii} A_{jj} - A_{ij} A_{ij} \right], \text{ w odniesieniu do}$$

$$\text{dewiatora } s \text{ zachodzi } II_s = -\frac{1}{2} s_{ij} s_{ij}, \text{ tak więc } W_\gamma = -\frac{1}{2G} II_s$$

Drugi niezmiennik dewiatora naprężeń s ($\sigma_{ij} = \sigma_m \delta_{ij} + s_{ij}$) można wyrazić względem składowych tensora $\boldsymbol{\sigma} \equiv \sigma_{ij}$ wzorem

$$II_s = -\frac{1}{6} \left[(\sigma_{11} - \sigma_{22})^2 + (\sigma_{22} - \sigma_{33})^2 + (\sigma_{33} - \sigma_{11})^2 + 6(\sigma_{12}^2 + \sigma_{23}^2 + \sigma_{31}^2) \right],$$

zatem energia odkształcenia postaciowego wyrażona przez $\boldsymbol{\sigma} \equiv \sigma_{ij}$:

$$W_\gamma = \frac{1}{12G} \left[(\sigma_{11} - \sigma_{22})^2 + (\sigma_{22} - \sigma_{33})^2 + (\sigma_{33} - \sigma_{11})^2 + 6(\sigma_{12}^2 + \sigma_{23}^2 + \sigma_{31}^2) \right]$$

Wyrażenie to jest niezmiennikiem tensorowym, zatem w układzie osi głównych $\{\sigma_1, \sigma_2, \sigma_3\}$ jego wartość wynosi

$$W_\gamma = \frac{1}{12G} \left[(\sigma_1 - \sigma_2)^2 + (\sigma_2 - \sigma_3)^2 + (\sigma_3 - \sigma_1)^2 \right]. \text{ Stan jednoosiowy:}$$

$$(\sigma_1 = \sigma_0, \sigma_2 = \sigma_3 = 0) \Leftrightarrow W_\gamma = \frac{1}{12G} 2\sigma_0^2, \text{ stąd obszar bezpieczny:}$$

$$(\sigma_{11} - \sigma_{22})^2 + (\sigma_{22} - \sigma_{33})^2 + (\sigma_{33} - \sigma_{11})^2 + 6(\sigma_{12}^2 + \sigma_{23}^2 + \sigma_{31}^2) \leq 2\sigma_0^2$$

$$\text{lub w układzie osi głównych } (\sigma_1 - \sigma_2)^2 + (\sigma_2 - \sigma_3)^2 + (\sigma_3 - \sigma_1)^2 \leq 2\sigma_0^2.$$

Granica obszaru bezpiecznego,
wyrażona względem drugiego
niezmiennika dewiatora naprężeń:

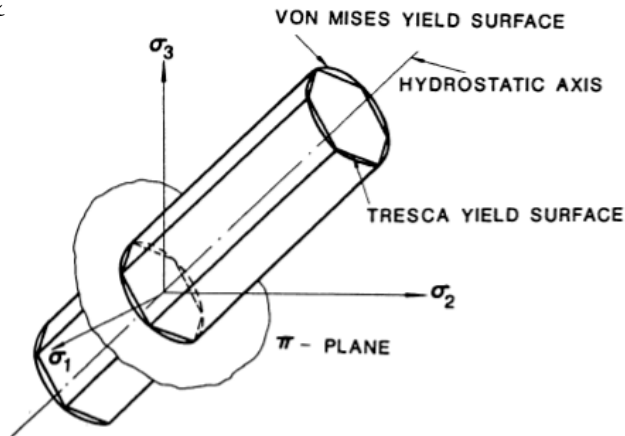
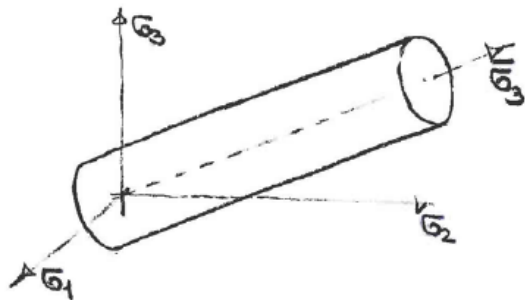
$$3II_s + \sigma_0^2 = 0.$$

W przestrzeni naprężeń $\{\bar{\sigma}_1, \bar{\sigma}_2, \bar{\sigma}_3\}$

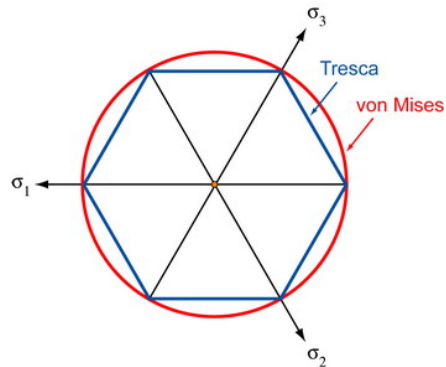
jest to **nieskończony walec kołowy** o równaniu $\bar{\sigma}_1^2 + \bar{\sigma}_2^2 = \frac{2}{3}\sigma_0^2$

o osi będącej osią hydrostatyczną
 $\bar{\sigma}_3$ i promieniu podstawy
(w płaszczyźnie dewiatorowej)
równemu $R = \sigma_0 \sqrt{3}/6$.

Jest to walec opisany na
graniastosłupie – granicy
obszaru bezpiecznego Treski.



Przekrój walca HMH płaszczyzną dewiatorową $\bar{\sigma}_3 = 0$ jest okręgiem opisanym na sześciokącie foremnym Treski.



PSN w płaszczyźnie $O\sigma_1\sigma_2$ ($\sigma_3 = 0$) – obszar bezpieczny HMH – elipsa

$\sigma_1^2 + \sigma_2^2 - \sigma_1\sigma_2 = \sigma_0^2$ o osiach symetrii

$\sigma_1 = \pm\sigma_2$, także opisana na sześciokącie Treski.

W dowolnym płaskim stanie naprężeń warunek HMH:

$$\sigma_{11}^2 + \sigma_{22}^2 - \sigma_{11}\sigma_{22} + 3\sigma_{12}^2 = \sigma_0^2$$

PSO w pł. $O\sigma_1\sigma_2$ ($\sigma_3 = \nu(\sigma_1 + \sigma_2)$):

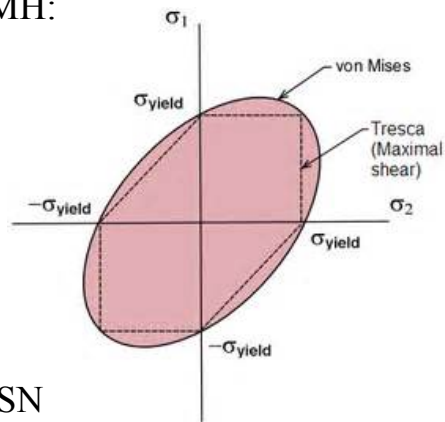
obszar bezpieczny: ogólne równanie elipsy o tych samych, co w PSN osiach symetrii

$$(\sigma_1^2 + \sigma_2^2)(1 - \nu + \nu^2) - \sigma_1\sigma_2(1 + 2\nu - 2\nu^2) = \sigma_0^2$$

Przypadki: $\nu = 0$ - obszar pokrywający się z PSN

$\nu \in (0, 0.5)$ - poszerzenie obszaru w stosunku do PSN

$\nu = 0.5$ przypadek graniczny, pasmo o granicach $\sigma_1 - \sigma_2 = \pm 2\sigma_0\sqrt{3}/3$



Zastosowanie hipotez wytrzymałościowych: ocena bezpieczeństwa złożonego stanu naprężenia $\boldsymbol{\sigma} \equiv \sigma_{ij}$ (3D, 2D) na podstawie rezultatu próby jednoosiowej – wartości σ_0 . Stan bezpieczny – należący do obszaru bezpiecznego w przestrzeni naprężeń można określić warunkiem wytrzymałościowym $\sigma_{zast} \leq \sigma_0$ (analogicznym do warunku stanu jednoosiowego), gdzie σ_{zast} (lub σ_{eff}) – naprężenia zastępcze (zredukowane) wg danej hipotezy.

W przypadku hipotezy HMH w stanie przestrzennym jest

$$\sigma_{zast} = \sqrt{0.5 \left[(\sigma_{11} - \sigma_{22})^2 + (\sigma_{22} - \sigma_{33})^2 + (\sigma_{33} - \sigma_{11})^2 + 6(\sigma_{12}^2 + \sigma_{23}^2 + \sigma_{31}^2) \right]}$$

układ osi głównych:
$$\sigma_{zast} = \sqrt{0.5 \left[(\sigma_1 - \sigma_2)^2 + (\sigma_2 - \sigma_3)^2 + (\sigma_3 - \sigma_1)^2 \right]}.$$

Hipoteza HMH – płaski stan naprężenia:

$$\sigma_{zast} = \sqrt{\sigma_{11}^2 + \sigma_{22}^2 - \sigma_{11}\sigma_{22} + 3\sigma_{12}^2} \quad \text{lub} \quad \sigma_{zast} = \sqrt{\sigma_1^2 + \sigma_2^2 - \sigma_1\sigma_2}.$$

Zadanie: Stosując hipotezy: Treski i HMM obliczyć graniczną wartość naprężenia stycznego τ w stanie czystego jednopłaszczyznowego ścinania, mając dany wynik próby jednoosiowej σ_0 .

Stan wyjściowy (jedna z możliwości): $\boldsymbol{\sigma} = \begin{bmatrix} 0 & \tau & 0 \\ \tau & 0 & 0 \\ 0 & 0 & 0 \end{bmatrix}$.

Hipoteza Treski: naprężenia główne: $\sigma_1 = \tau$, $\sigma_2 = 0$, $\sigma_3 = -\tau$,
ekstremalne naprężenia styczne $\tau_{\max} = 0.5(\tau + \tau) = \tau$,
graniczne naprężenia styczne $\tau_0 = 0.5\sigma_0$,
tym samym graniczna wartość $\tau_T = 0.5\sigma_0$

Hipoteza HMM: wersja w dowolnym układzie współrzędnych
 $(\sigma_{11} - \sigma_{22})^2 + (\sigma_{22} - \sigma_{33})^2 + (\sigma_{33} - \sigma_{11})^2 + 6(\sigma_{12}^2 + \sigma_{23}^2 + \sigma_{31}^2) = 2\sigma_0^2$

Po podstawieniu $6\tau^2 = 2\sigma_0^2$, stąd $\tau_{HMM} = \sigma_0 \sqrt{3}/3 \cong 0.577\sigma_0$

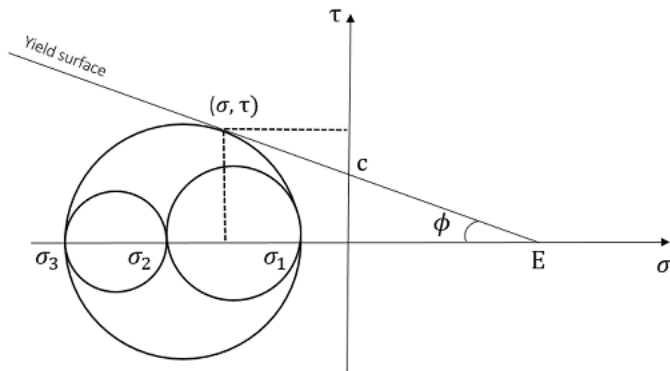
Hipotezy dwuparametrowe – wykorzystujące dwie wartości naprężeń granicznych: przy rozciąganiu $\sigma_0^+ \equiv R_t$ i przy ściskaniu $\sigma_0^- \equiv R_c$. Zastosowanie: np. beton, materiały kruche (naprężenia graniczne – granica wytrzymałości)

* hipoteza **Mohra** (Christian Otto Mohr, 1900) – **Coulomba** (Charles Coulomb, 1773) - miarą wyteżenia są ekstremalne naprężenia styczne, z uwzględnieniem towarzyszących naprężeń normalnych.

Ch. Coulomb – obserwacja materiałów sypkich – koło Mohra naprężeń: styczna do koła Mohra jest linią

$$\tau = C - K\sigma,$$

gdzie C – kohezja (miara spójności), $K = \tan\varphi$, φ - kąt tarcia wewnętrznego.



Ch. Mohr – stany graniczne naprężeń stycznych (ściskanie) wyznaczane na podstawie obwiedni kół Mohra, przy kilku stanach naprężenia.

Przyjmując w przybliżeniu, że do stycznej należą skrajne punkty koła Mohra $\{\sigma_1, \sigma_2\}$ zachodzi:

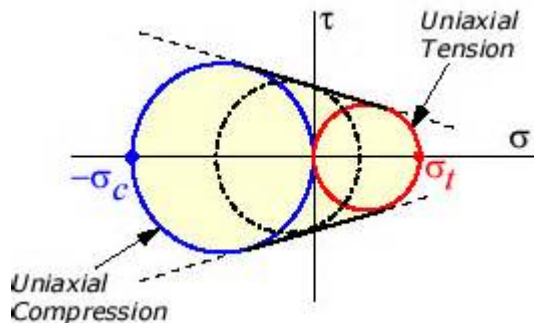
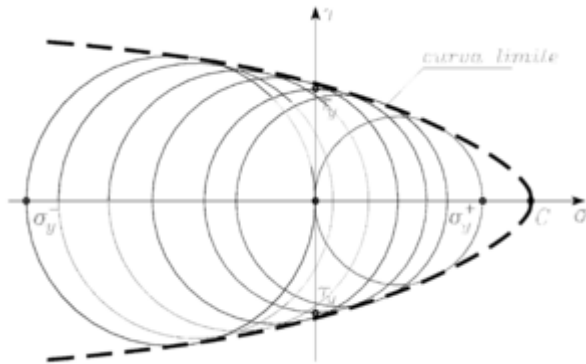
$$\pm 0.5(\sigma_1 - \sigma_2) = C - 0.5K(\sigma_1 + \sigma_2),$$

rozszerzenie na pozostałe wymiary:

$$\pm 0.5(\sigma_2 - \sigma_3) = C - 0.5K(\sigma_2 + \sigma_3)$$

$$\pm 0.5(\sigma_3 - \sigma_1) = C - 0.5K(\sigma_3 + \sigma_1)$$

Parametry C i K można wyznaczyć na podstawie dwóch prób jednoosiowych: rozciągania i ściskania, w każdej z nich tworząc koło Mohra.



W obu próbach jednoosiowych jest:

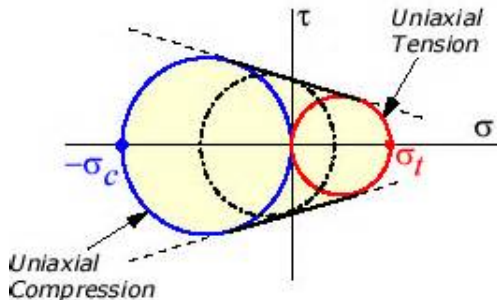
$$\pm 0.5\sigma_1 = C - 0.5K\sigma_1 \Rightarrow \pm \sigma_1 + K\sigma_1 = 2C$$

Próba rozciągania: $\sigma_1 = R_t$, podstawiając dodatnią wartość σ_1 jest $R_t = 2C/(1+K)$.

Próba ściskania: $\sigma_1 = -R_c$, podstawiając ujemną wartość σ_1 jest $R_c = 2C/(1-K)$.

Gdy $m = \frac{R_c}{R_t}$ jest $K = \frac{m-1}{m+1}$, $C = R_c \frac{1}{m+1} = R_t \frac{m}{m+1}$, wtedy równania

$$\begin{cases} \pm 0.5(\sigma_1 - \sigma_2) = R_t \frac{m}{m+1} - \frac{1}{2} \frac{m-1}{m+1} (\sigma_1 + \sigma_2) \\ \pm 0.5(\sigma_2 - \sigma_3) = R_t \frac{m}{m+1} - \frac{1}{2} \frac{m-1}{m+1} (\sigma_2 + \sigma_3) \\ \pm 0.5(\sigma_3 - \sigma_1) = R_t \frac{m}{m+1} - \frac{1}{2} \frac{m-1}{m+1} (\sigma_3 + \sigma_1) \end{cases}$$



sześć płaszczyzn
w przestrzeni
 $\{\sigma_1, \sigma_2, \sigma_3\}$
- granice obszaru
bezpiecznego

Na osi hydrostatycznej $\bar{\sigma}_3$ wszystkie płaszczyzny graniczne Mohra – Coulomba przecinają się w punkcie $\sigma_1 = \sigma_2 = \sigma_3 = \sigma_r$, danym

$$\text{wzorem } \sigma_r = R_t \frac{m}{m-1}.$$

Gdy $R_c > R_t \Leftrightarrow m > 1$

obrazem geometrycznym powierzchni granicznej jest **nieskończony ostrosłup sześciokątny** o wierzchołku

$$\sigma_1 = \sigma_2 = \sigma_3 = \sigma_r = R_t \frac{m}{m-1}$$

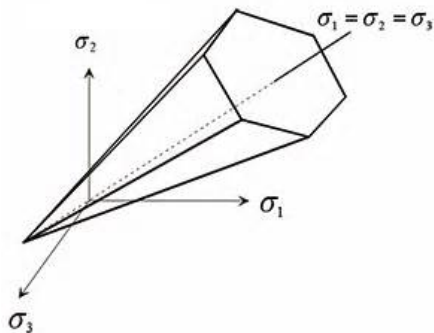
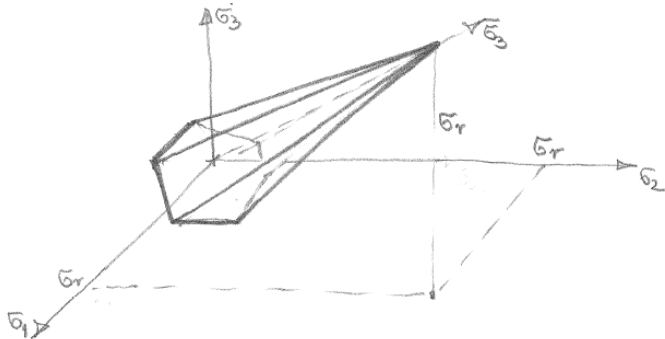
Przekroje ostrosłupa płaszczyznami

$\sigma_1 + \sigma_2 + \sigma_3 = \text{const}$ są sześciokątami foremnymi.

Przy $m = 1 \Leftrightarrow R_t = R_c$ warunek MC

i kryterium Treski są tożsame

(powierzchnia graniczna - graniastosłup).



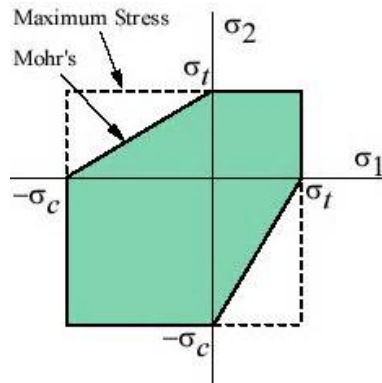
obraz od strony ujemnych półosi $\sigma_1, \sigma_2, \sigma_3$

Płaski stan naprężenia ($\sigma_3 = 0$):

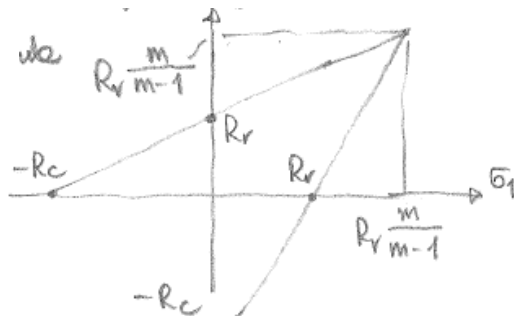
$$\begin{cases} \pm 0.5(\sigma_1 - \sigma_2) = C - 0.5K(\sigma_1 + \sigma_2) \\ \pm 0.5\sigma_2 = C - 0.5K\sigma_2 \\ \pm 0.5\sigma_1 = C - 0.5K\sigma_1 \end{cases}$$

Powracając do symboliki R_t i R_c jest

$$\begin{cases} \frac{\sigma_1}{R_t} - \frac{\sigma_2}{R_c} = 1, & \frac{\sigma_2}{R_t} - \frac{\sigma_1}{R_c} = 1 \\ \sigma_2 = \pm R_c, & \sigma_1 = \pm R_t \end{cases}$$



Płaski stan odkształcenia
(ilustracja w przypadku $\nu = 0.5$)



* hipoteza **Druckera** (Drucker) – **Pragera** (Prager), 1952 - miarą wyęczenia są odkształcenia postaciowe (drugi niezmiennik dewiatora naprężeń, II_s), z wpływem odkształceń objętościowych (śląd tensora naprężenia, I_σ).

Nawiązanie: hipoteza HMM: $3II_s + \sigma_0^2 = 0 \Leftrightarrow \sqrt{-II_s} = K$, gdzie $K = \frac{\sigma_0}{\sqrt{3}}$

Warunek Druckera – Pragera: $\alpha I_\sigma + \sqrt{-II_s} = K$,

niezmienniki, w układzie osi głównych: $I_\sigma = \sigma_{ii} = \sigma_1 + \sigma_2 + \sigma_3$,

$$II_s = -\frac{1}{2} s_{ij} s_{ij} = -\frac{1}{6} \left[(\sigma_1 - \sigma_2)^2 + (\sigma_2 - \sigma_3)^2 + (\sigma_3 - \sigma_1)^2 \right].$$

Dwa parametry: próby jednoosiowe, w których: $\alpha \sigma_1 + |\sigma_1| \sqrt{3}/3 = K$

Gdy $\sigma_1 = R_t$ jest $\alpha R_t + R_t \frac{\sqrt{3}}{3} = K$

Gdy $\sigma_1 = -R_c$ jest $-\alpha R_c + R_c \frac{\sqrt{3}}{3} = K$

$$\text{stad} \begin{cases} \alpha = \frac{1}{\sqrt{3}} \frac{m-1}{m+1} \\ K = \frac{2R_c}{\sqrt{3}(m+1)} \end{cases}, m = \frac{R_c}{R_t}$$

Równoważna forma warunku DP:

$$(m-1)I_\sigma + (m+1)\sqrt{-3II_s} = 2R_c$$

W przestrzeni naprężeń $\{\bar{\sigma}_1, \bar{\sigma}_2, \bar{\sigma}_3\}$

(oś hydrostatyczna $\bar{\sigma}_3$ i płaszczyzna dewiatorowa $O\bar{\sigma}_1\bar{\sigma}_2$) niezmienniki są równe

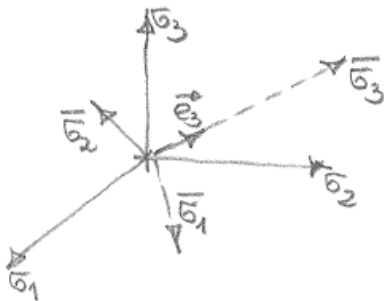
$$I_\sigma = \sigma_1 + \sigma_2 + \sigma_3 = \bar{\sigma}_3\sqrt{3}, \quad II_s = -\frac{1}{2}(\bar{\sigma}_1^2 + \bar{\sigma}_2^2),$$

$$\text{stad } \alpha\bar{\sigma}_3\sqrt{3} + \sqrt{\frac{1}{2}(\bar{\sigma}_1^2 + \bar{\sigma}_2^2)} = K,$$

$$\text{lub } (m-1)\bar{\sigma}_3\sqrt{3} + (m+1)\sqrt{\frac{3}{2}(\bar{\sigma}_1^2 + \bar{\sigma}_2^2)} = 2R_c$$

$$(m+1)\sqrt{\bar{\sigma}_1^2 + \bar{\sigma}_2^2} = 2R_c\sqrt{\frac{2}{3}} - (m-1)\bar{\sigma}_3\sqrt{2}$$

W przypadku $m=1 \Leftrightarrow R_t = R_c$ warunki DP i HMH są tożsame.



Równanie powierzchni granicznej DP w przestrzeni $\{\bar{\sigma}_1, \bar{\sigma}_2, \bar{\sigma}_3\}$ to

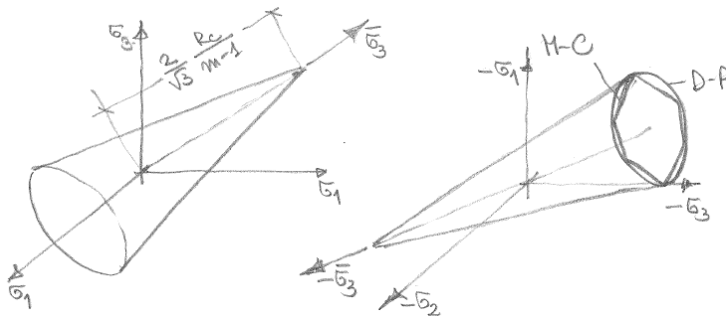
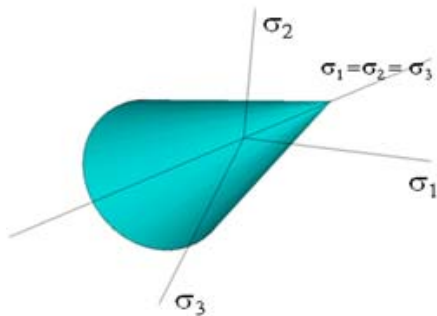
$$(m+1)\sqrt{\bar{\sigma}_1^2 + \bar{\sigma}_2^2} = 2R_c\sqrt{\frac{2}{3}} - (m-1)\bar{\sigma}_3\sqrt{2} - \text{nieskończony stożek}$$

obrotowy o osi $\bar{\sigma}_3$. Przekroje płaszczyznami $\bar{\sigma}_3 = c = \text{const}$ są

$$\text{okręgami o promieniach } \frac{1}{m+1} \left[2R_c\sqrt{\frac{2}{3}} - (m-1)\bar{\sigma}_3\sqrt{2} \right]$$

Zerowe wyrażenie określające promień \rightarrow wierzchołek stożka, współrzędna

$$\bar{\sigma}_3 = \frac{2}{\sqrt{3}} \frac{R_c}{m-1}, \text{ lub } \sigma_1 = \sigma_2 = \sigma_3 = \frac{2}{3} \frac{R_c}{m-1}$$



Przypadek PSN ($\sigma_3 = 0$): $I_\sigma = \sigma_1 + \sigma_2$, $II_s = -\frac{1}{3}(\sigma_1^2 + \sigma_2^2 + \sigma_1\sigma_2)$

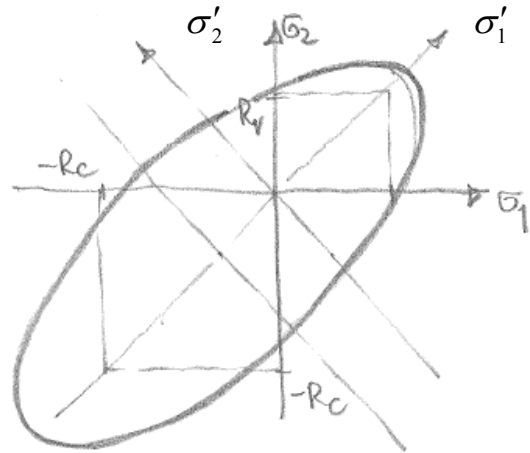
$(m-1)I_\sigma + (m+1)\sqrt{-3II_s} = 2R_c$ po podstawieniu i uporządkowaniu
 $4m(\sigma_1^2 + \sigma_2^2) - \sigma_1\sigma_2(3m^2 - 2m + 3) + 4R_c(m-1)(\sigma_1 + \sigma_2) = 4R_c^2$.

Jest to równanie elipsy o osi symetrii $\sigma_1 = \sigma_2$.

Obliczenie przy $m = 2 \Leftrightarrow R_c = 2R_t$

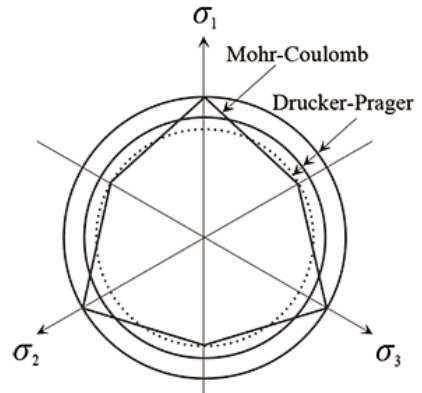
W układzie $O\sigma'_1\sigma'_2$ obszar bezpieczny jest elipsą

$$\left(\frac{\sigma'_1 + 0.4R_c}{1.362R_c}\right)^2 + \left(\frac{\sigma'_2}{0.586R_c}\right)^2 = 1$$



Przykładowy przekrój powierzchni granicznych MC i DP płaszczyzną dewiatorową $\sigma_1 + \sigma_2 + \sigma_3 = 0$

Zadanie: Obliczyć graniczną wartość p w stanie wszechstronnego rozciągania $\sigma_1 = \sigma_2 = \sigma_3 = p$ stosując warunki MC i DP. Dane: $R_t, R_c, m = R_c/R_t$



Hipoteza MC: Zapis $\pm 0.5(\sigma_1 - \sigma_2) = R_t \frac{m}{m+1} - \frac{1}{2} \frac{m-1}{m+1}(\sigma_1 + \sigma_2)$ daje

$$mR_t = p(m-1), \text{ stąd } p_{gr,MC} = R_t \frac{m}{m-1} = R_c \frac{1}{m-1}$$

Hipoteza DP: w stanie trójosiowego równomiernego rozciągania jest

$I_\sigma = 3p, II_s = 0$, zatem zapis $(m-1)I_\sigma + (m+1)\sqrt{-3II_s} = 2R_c$ jest tożsamy

$$\text{z formą } 3p(m-1) = 2R_c, \text{ czyli } p_{gr,DP} = \frac{2}{3} R_t \frac{m}{m-1} = \frac{2}{3} R_c \frac{1}{m-1}.$$

W stanie wszechstronnego równomiernego obciążenia jest $p_{gr,DP} = \frac{2}{3} p_{gr,MC}$.